

九州大学 工学部 正員 横東一郎
 九州大学 工学部 正員 小松利光
 九州大学 大学院 学生員 岩原 桂

1. まえがき

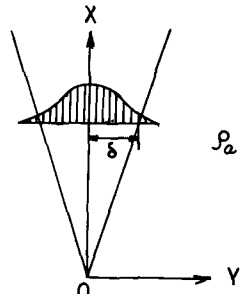
静止した一樣密度 ρ_a の流体中に軽い密度 ρ の流体($\rho < \rho_a$)を放出せし三次元の船直上昇プルームの浮上拡散については Abraham, Priestley, 林, 著者らにより活発な研究が行なわれ、かなりの程度明らかにされてい。一方二次元の船直プルームの浮上拡散については確立領域に関して NIKOLASE, KOTSOVINO の理論および実験的研究があるが形成領域についてはほとんどふれられていない。今回我々は二次元浮力プルームの流動特性について三次元の取り扱いと同様の方法で浮力効果の卓越する形成領域における理論解析を行い、確立領域における解と接続させることにより幅広い出口内部 Froude 数に対する理説解を得たので報告する。

2. 理論的解釈

(確立領域)仮想線源を考え、拡がり幅の方向に x 軸、船直方向に y 軸を考える基礎式としては平均流速(U, V)、その変動分(u, v)、単位質量当たりの浮力を $B = g(\rho_a - \rho)/\rho_a$ とすると次のようになる。

$$\frac{\partial U^2}{\partial x} + \frac{\partial}{\partial y} VU = \frac{\partial}{\partial y} (\tau/\rho) + B \quad (運動方程式) \quad (1)$$

$$\frac{\partial}{\partial x} UB + \frac{\partial}{\partial y} VB = -\frac{\partial}{\partial y} (vB) \quad (拡散方程式) \quad (2)$$



ここで、浮力、流速およびせん断力の分布に対して相似性を仮定する。

$U = U_c f(\eta)$, $B = B_c f(\eta)$, $\tau/\rho = \frac{1}{2} U_c^2 f(\eta)$, $\eta = y/\delta$ (3) ここで U_c, B_c は中心面上の流速および浮力をある。(3) 式を用いて(1)(2)式を $y=0 \sim \infty$ で積分すると $f(\eta) = f(\eta) = e^{-0.693\eta^2}$ とおいて次式が得られる。 $I_2 \frac{d}{dx} (S U_c^2) = I_3 S B_c$ (4) $2 I_2 \frac{d}{dx} (U_c B_c \delta) = 0$ (5)

また(1)式に U をかけて $y=0 \sim \infty$ で積分すると平均流エネルギーの式として(6)式となる。

$$\frac{d}{dx} (U_c^3 S) = -C U_c^3 + r_i S U_c B_c \quad (6) \quad I_2 = \int_0^\infty f^2 d\eta, \quad I_3 = \int_0^\infty f^3 d\eta, \quad r_i = 2 \int_0^\infty f^2 d\eta / \int_0^\infty f^3 d\eta$$

$C = \int_0^\infty \frac{df}{d\eta} d\eta / \int_0^\infty f^3 d\eta$ 決定すべき未知数は S, U_c, B_c の 3 個であり式(4), (5), (6)を解くことで求められる。また仮想線源での単位長さ当たりの momentum flux M_o , buoyancy flux N_o を用いてプルーム特性量を(7)式のように無次元化するとパラメータの Froude 数が消えて3次元に対する Δ, U_c, B_c のそれぞれの理説解が一本の曲線で表わされる。

$$\Delta = \frac{S N_o^{1/3}}{M_o}, \quad U_c = \frac{N_o^{1/3}}{U_c}, \quad B_c = \frac{N_o^{1/3}}{B_c M_o}, \quad \beta = \frac{X N_o^{2/3}}{M_o} \quad (7)$$

ここに buoyancy flux N_o (保存式 $N_o = 2 I_2 U_c B_c \delta (= U_c B_o D_o)$ で与えられる) の値は Brodury の実験結果より $C = 0.055$ を用いる。実際の流れに確立領域の理論を用いてあたって実際の放出口と仮想線源の位置関係および仮想線源での momentum flux M_o と実際の放出口の momentum flux M_{oo} の比 M_o/M_{oo} の問題が次の問題となる。

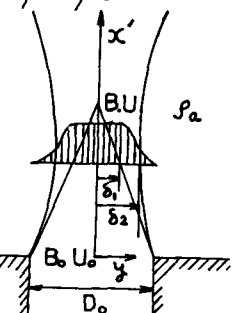


図2 形成領域の模式図

(形成領域)形成領域は図2で示されるようにCORE部分と混合領域とが分かれる。CORE部では浮力の影響を受けて縮流し、流速が加速される。流速・浮力分布を次のように考えよ。CORE内ではY方向に流速、浮力が一定で混合領域内と相似性を仮定すると式となる。

$$\text{流速分布 (i)} \quad 0 \leq y \leq s_1; U = U_c \quad \text{(ii)} \quad y \geq s_1; U = U_c f(\gamma) \quad \} \quad (8)$$

$$\text{浮力分布 (i)} \quad 0 \leq y \leq s_1; B = B_0 \quad \text{(ii)} \quad y \geq s_1; B = B_0 h(\gamma) \quad \}$$

ここで $B_0 = \text{const}$, $\gamma' = (y - s_1) / (s_2 - s_1) = (y - s_1) / R'$

(8) 式を使つて (4)(5)(6) 式を $y = 0 \sim \infty$ で積分すると $f(\gamma) = h(\gamma) = \exp(-0.693 \gamma'^2)$ とおいて次のようになる。

$$\frac{d}{dx} (U_c^2 s_1 + U_c^3 I_2 R') = B_0 (s_1 + I_2 R) \quad (\text{運動方程式}) \quad (9)$$

$$\frac{d}{dx} (U_c^3 s_1 + U_c^3 I_4 R') = -I_3 U_c^3 + 2 U_c B_0 (s_1 + I_2 R) \quad (\text{エネルギー方程式}) \quad (10)$$

$$\frac{d}{dx} (U_c s_1 + U_c I_2 R') = 0 \quad (\text{拡散方程式}) \quad (11)$$

$$I_4 = \int_0^\infty f(\gamma) d\gamma \quad I_5 = C \cdot I_4$$

式(9)～(11)での U_c, s_1, R' を出口の条件 U_0, D_0 (放出口の長さ) で無次元化すると式(9)～(11)は $I_4 = U_c/U_0, \Delta = s_1/D_0, R_* = R'/D_0$ を規定する式となりパラメータとして $Fro = U_0/\sqrt{B_0 D_0}$ を含む。

$\zeta = \chi/D_0 = 0$ で $\Delta = 0.5, R_* = 0, I_4 = 1.0$ の初期条件を与えて(9)～(11)式を数値計算することで従来のFroude数に対するcore消失点での I_4, U_c, R_* が求まる。これらの値を境界条件として式(4)～(6)に代入して U_c, s_1, B_0 を出口の条件 U_0, D_0, B_0 で無次元化し式を数値計算すると確立領域でのプレーミ特性量が求められる。 I_4, B_0, Δ, ζ と I_4, B_0, Δ, ζ の間に次の関係がある。

$$U_c = \frac{1}{Fro^{2/3}} I_4 \quad (12), \quad B_0 = \frac{1}{\Delta F_{\text{rot}}^{2/3} B_*} \quad (13), \quad \Delta = \frac{\Delta_*}{\Delta_* F_{\text{rot}}^{2/3}} \quad (14), \quad \zeta = \frac{\zeta_*}{\zeta_* F_{\text{rot}}^{2/3}} \quad (15)$$

数値計算から得られた確立領域の性質のなかに対する B_0, Δ, ζ と (12) 式を用いて I_4 が求まる。ついで ζ と I_4 の関係からその I_4 に対する ζ の値が求まり、その ζ に対する B_0, Δ が得られる。(13)～(14)式から得られる D_0, Δ がほとんど同じであることからその平均値を採用することにする。得られた $\zeta = M_{\text{rot}}/M_{\text{in}}$ の値とその値を(15)式に代入すると D_0 を無次元化した放出口からの距離 χ が求まる。仮想発源から放出口までの距離 χ が(16)式で計算される。

$\chi_c = \zeta_* - \zeta \quad (16)$ 得られた結果を放出口の内部Froude数 Fro に対して図(3)と(4)に示す。 $Fro > 10$ では momentum flux M_{in} が buoyancy flux N_b より先駆して jet-like flow で、 $Fro < 10$ では buoyancy flux N_b が先駆し混合流などを生じる plume-like flow である。特に $Fro < 2.2$ で ($1 M_{\text{in}}/M_{\text{out}} = 0$ 即ち $M_{\text{in}} = 0$ となる) pure-plume となる。 I_4, B_0, Δ, ζ の関係を示すのが図5と図6、図7である。

本研究において物理量が物性によって後藤模一致関係を表す。

